

$^{12}\text{C}(^{77}\text{Se},3n\gamma), ^{60}\text{Ni}(^{30}\text{Si},2p2n\gamma)$  **1995Mo02,1991Ch40**

Type	Author	Citation	Literature Cutoff Date
Full Evaluation	Alexandru Negret, Balraj Singh	NDS 124, 1 (2015)	30-Nov-2014

**1995Mo02:**  $^{12}\text{C}(^{77}\text{Se},3n\gamma)$  E=260 MeV. Four Compton-suppressed Ge detectors (efficiency 20%) were placed at  $56^\circ$  and  $124^\circ$  and a HE213 neutron detector at  $0^\circ$ . Measured  $E\gamma$ ,  $I\gamma$ ,  $n\gamma$  coincidence,  $\gamma(\theta)$  in both singles and coin modes, logarithmic slope of  $\gamma(\theta)$  at  $56^\circ$ , g factors from transient field technique.

**1991Ch40** (also **1993Li26**):  $^{60}\text{Ni}(^{30}\text{Si},2p2n\gamma)$  E=135 MeV. Measured  $\gamma\gamma$  coincidence, angular correlation using Compton-suppressed Ge detectors.  $T_{1/2}$  measured by Doppler shift attenuation method.

 $^{86}\text{Zr}$  Levels

E(level)	J <sup>π</sup> <sup>†</sup>	T <sub>1/2</sub> <sup>‡</sup>	Comments
0.0 <sup>#</sup>	0 <sup>+</sup>		
752.0 <sup>#</sup> 10	2 <sup>+</sup>		
1667.0 <sup>#</sup> 15	4 <sup>+</sup>		
2670.0 <sup>#</sup> 17	6 <sup>+</sup>		
2706.0 <sup>a</sup> 17	5 <sup>-</sup>		g=+0.46 21 ( <b>1995Mo02</b> , average for 5 <sup>-</sup> , 7 <sup>-</sup> and 9 <sup>-</sup> levels).
3272.0 <sup>b</sup> 19	6 <sup>-</sup>		
3299.0 <sup>#</sup> 19	8 <sup>+</sup>		g=-1.05 64 ( <b>1995Mo02</b> )
3424.0 <sup>a</sup> 18	7 <sup>-</sup>		
3533.0 <sup>@</sup> 19	8 <sup>+</sup>		g=+1.06 22 ( <b>1995Mo02</b> , average for 8 <sup>+</sup> and 10 <sup>+</sup> levels).
4134.0 <sup>b</sup> 19	(8 <sup>-</sup> )		
4327.0 <sup>#</sup> 20	10 <sup>+</sup>		g=-0.48 96 ( <b>1995Mo02</b> )
4419.0 <sup>@</sup> 19	10 <sup>+</sup>		
4430.0 <sup>a</sup> 19	9 <sup>-</sup>		
5067.0 <sup>b</sup> 20	(10 <sup>-</sup> )		E(level): based on ordering of 933-908 cascade suggested by <b>2000Do04</b> . Reversed ordering in <b>1991Ch40</b> gave E(level)=5042.
5389.0 <sup>a</sup> 22	11 <sup>-</sup>		
5397.0 <sup>#</sup> 21	12 <sup>+</sup>		g=-0.35 85 ( <b>1995Mo02</b> )
5525.0 <sup>@</sup> 21	12 <sup>+</sup>		g=+0.55 13 ( <b>1995Mo02</b> )
5975.0 <sup>b</sup> 22	(12 <sup>-</sup> )		
6322.0 <sup>#</sup> 23	14 <sup>+</sup>		g=+1.86 61 ( <b>1995Mo02</b> )
6339.0 <sup>a</sup> 24	13 <sup>-</sup>		
6753.0 <sup>@</sup> 23	14 <sup>+</sup>		
7016.1 <sup>&amp;</sup> 24	15 <sup>+</sup>	0.55 ps +14-2	
7397.0 <sup>#</sup> 24	16 <sup>+</sup>	0.59 ps +14-2	
8249.3 <sup>&amp;</sup> 25	17 <sup>+</sup>	0.15 ps +10-2	
8650.5 <sup>#</sup> 25	18 <sup>+</sup>	0.23 ps +5-2	
9892 <sup>&amp;</sup> 3	19 <sup>+</sup>	0.07 ps +8-2	
10143 <sup>#</sup> 3	20 <sup>+</sup>	0.28 ps +8-3	
12062 <sup>#</sup> 3	22 <sup>+</sup>	0.06 ps +7-3	
14150 <sup>#</sup> 3	24 <sup>+</sup>	0.06 ps +8-4	

<sup>†</sup> As proposed by **1991Ch40**. See Adopted Levels also.

<sup>‡</sup> By DSAM (**1991Ch40**).

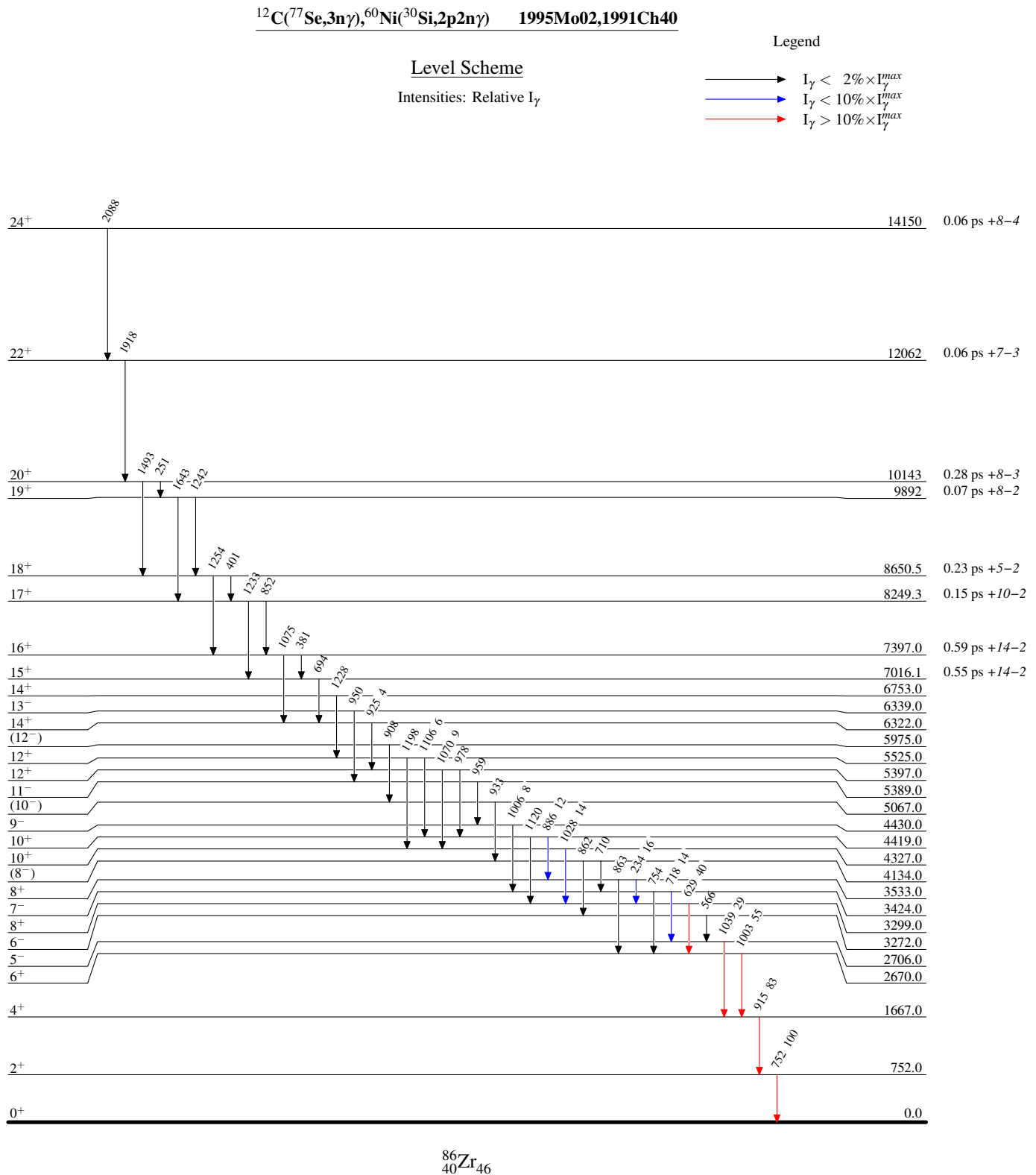
# Band(A):  $\gamma$ -sequence based on ground state.

@ Band(B): Band based on 8<sup>+</sup>. Alignment in  $\pi g9/2$  shell is indicated with slightly oblate or spheroid shape (**1995Mo02**).

<sup>12</sup>C(<sup>77</sup>Se,3n $\gamma$ ),<sup>60</sup>Ni(<sup>30</sup>Si,2p2n $\gamma$ )    **1995Mo02,1991Ch40 (continued)**<sup>86</sup>Zr Levels (continued)<sup>a</sup> Band(C):  $\gamma$ -sequence based on 15<sup>+</sup> (**1991Ch40**).<sup>a</sup> Band(D):  $\gamma$ -sequence based on 5<sup>-</sup> (**1991Ch40**).<sup>b</sup> Band(E):  $\gamma$ -sequence based on 6<sup>-</sup> (**1991Ch40**). $\gamma(^{86}\text{Zr})$ 

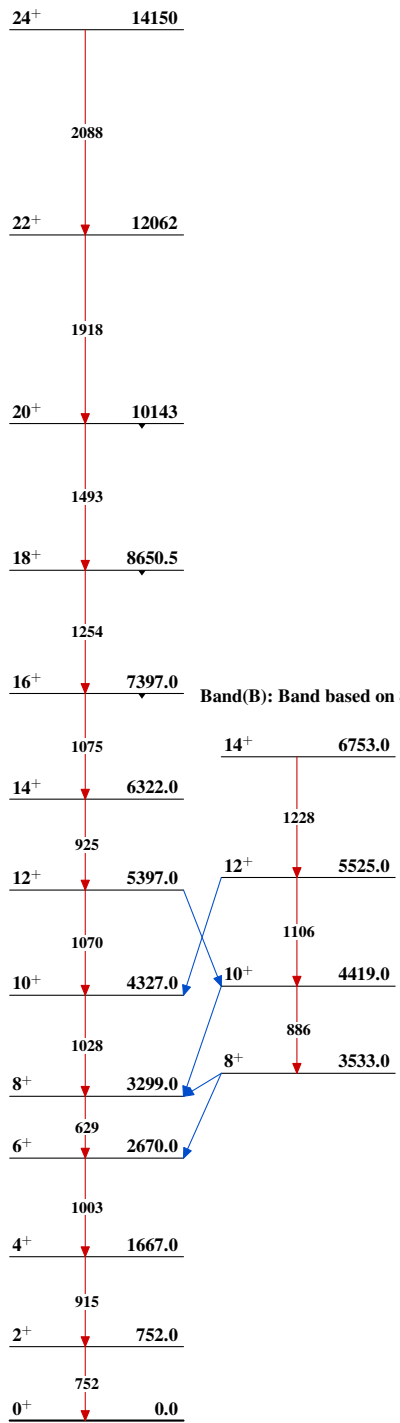
E <sub><math>\gamma</math></sub> <sup>†</sup>	I <sub><math>\gamma</math></sub> <sup>†</sup>	E <sub>i</sub> (level)	J <sub><math>i</math></sub> <sup><math>\pi</math></sup>	E <sub>f</sub>	J <sub><math>f</math></sub> <sup><math>\pi</math></sup>	E <sub><math>\gamma</math></sub> <sup>†</sup>	I <sub><math>\gamma</math></sub> <sup>†</sup>	E <sub>i</sub> (level)	J <sub><math>i</math></sub> <sup><math>\pi</math></sup>	E <sub>f</sub>	J <sub><math>f</math></sub> <sup><math>\pi</math></sup>
234	16	3533.0	8 <sup>+</sup>	3299.0	8 <sup>+</sup>	950		6339.0	13 <sup>-</sup>	5389.0	11 <sup>-</sup>
251		10143	20 <sup>+</sup>	9892	19 <sup>+</sup>	959		5389.0	11 <sup>-</sup>	4430.0	9 <sup>-</sup>
381		7397.0	16 <sup>+</sup>	7016.1	15 <sup>+</sup>	978		5397.0	12 <sup>+</sup>	4419.0	10 <sup>+</sup>
401		8650.5	18 <sup>+</sup>	8249.3	17 <sup>+</sup>	1003	55	2670.0	6 <sup>+</sup>	1667.0	4 <sup>+</sup>
566		3272.0	6 <sup>-</sup>	2706.0	5 <sup>-</sup>	1006	8	4430.0	9 <sup>-</sup>	3424.0	7 <sup>-</sup>
<sup>x</sup> 612 <sup>#</sup>						1028	14	4327.0	10 <sup>+</sup>	3299.0	8 <sup>+</sup>
629	40	3299.0	8 <sup>+</sup>	2670.0	6 <sup>+</sup>	1039	29	2706.0	5 <sup>-</sup>	1667.0	4 <sup>+</sup>
694		7016.1	15 <sup>+</sup>	6322.0	14 <sup>+</sup>	1070	9 <sup>‡</sup>	5397.0	12 <sup>+</sup>	4327.0	10 <sup>+</sup>
710		4134.0	(8 <sup>-</sup> )	3424.0	7 <sup>-</sup>	1075		7397.0	16 <sup>+</sup>	6322.0	14 <sup>+</sup>
718	14	3424.0	7 <sup>-</sup>	2706.0	5 <sup>-</sup>	1106	6 <sup>‡</sup>	5525.0	12 <sup>+</sup>	4419.0	10 <sup>+</sup>
752	100	752.0	2 <sup>+</sup>	0.0	0 <sup>+</sup>	1120		4419.0	10 <sup>+</sup>	3299.0	8 <sup>+</sup>
754		3424.0	7 <sup>-</sup>	2670.0	6 <sup>+</sup>	1198		5525.0	12 <sup>+</sup>	4327.0	10 <sup>+</sup>
852		8249.3	17 <sup>+</sup>	7397.0	16 <sup>+</sup>	1228		6753.0	14 <sup>+</sup>	5525.0	12 <sup>+</sup>
862		4134.0	(8 <sup>-</sup> )	3272.0	6 <sup>-</sup>	1233		8249.3	17 <sup>+</sup>	7016.1	15 <sup>+</sup>
863		3533.0	8 <sup>+</sup>	2670.0	6 <sup>+</sup>	1242		9892	19 <sup>+</sup>	8650.5	18 <sup>+</sup>
886	12	4419.0	10 <sup>+</sup>	3533.0	8 <sup>+</sup>	1254		8650.5	18 <sup>+</sup>	7397.0	16 <sup>+</sup>
908 <sup>@</sup>		5975.0	(12 <sup>-</sup> )	5067.0	(10 <sup>-</sup> )	1493		10143	20 <sup>+</sup>	8650.5	18 <sup>+</sup>
915	83	1667.0	4 <sup>+</sup>	752.0	2 <sup>+</sup>	1643		9892	19 <sup>+</sup>	8249.3	17 <sup>+</sup>
925	4	6322.0	14 <sup>+</sup>	5397.0	12 <sup>+</sup>	1918		12062	22 <sup>+</sup>	10143	20 <sup>+</sup>
933		5067.0	(10 <sup>-</sup> )	4134.0	(8 <sup>-</sup> )	2088		14150	24 <sup>+</sup>	12062	22 <sup>+</sup>

<sup>†</sup> From **1995Mo02**.<sup>‡</sup> Estimated I <sub>$\gamma$</sub>  for the contaminated line.<sup>#</sup> Placement from a 5042, 10<sup>-</sup> level is not supported by **2000Do04**.<sup>@</sup> Ordering of 933-908 cascade is taken from **2000Do04**, reverse ordering is given in **1991Ch40**.<sup>x</sup>  $\gamma$  ray not placed in level scheme.

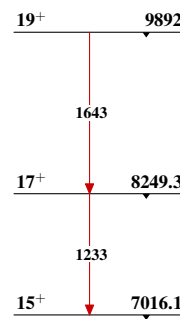


$^{12}\text{C}(^{77}\text{Se},3\text{n}\gamma), ^{60}\text{Ni}(^{30}\text{Si},2\text{p}2\text{n}\gamma)$     1995Mo02, 1991Ch40

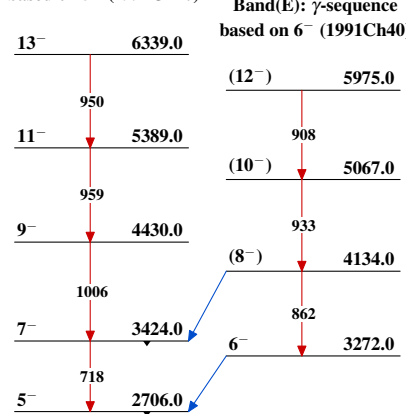
Band(A):  $\gamma$ -sequence  
based on ground state



Band(C):  $\gamma$ -sequence  
based on 15<sup>+</sup> (1991Ch40)



Band(D):  $\gamma$ -sequence  
based on 5<sup>-</sup> (1991Ch40)



Band(E):  $\gamma$ -sequence  
based on 6<sup>-</sup> (1991Ch40)

